



# Corso di Visione Artificiale

Laurea Magistrale in Informatica (F94)

Docenti:

*Raffaella Lanzarotti*

*Federico Pedersini*

*Dipartimento di Informatica  
Università degli Studi di Milano*



## **Generazione di un'immagine (image formation)**

### ***Modelli radiometrici di formazione dell'immagine***

- ❖ Modello radiometrico di camera
  - della lente
  - del sensore (calibrazione radiometrica, HDR)
- ❖ Modelli di riflessione superficiale
- ❖ Applicazioni:
  - Lightness constancy
  - Photometric stereo
  - BRDF – Helmholtz stereopsis

(Forsyth/Ponce: Capitolo 2)



## ❖ Angolo piano [radianti]:

- Rapporto tra lunghezza arco sotteso ( $s$ ) e raggio ( $R$ ):
- Angolo giro ( $360^\circ$ ):

$$\vartheta = \frac{s}{R} \quad [\text{rad}]$$

Angolo giro:

$$\vartheta = \frac{2\pi R}{R} = 2\pi$$

## ❖ Angolo solido [steradiani]:

- Rapporto tra area sottesa ( $A$ ) e raggio al quadrato ( $R^2$ ):

$$\Omega = \frac{A}{R^2} \quad [\text{sr}]$$

Angolo solido "giro":

$$\Omega = \frac{4\pi R^2}{R^2} = 4\pi$$

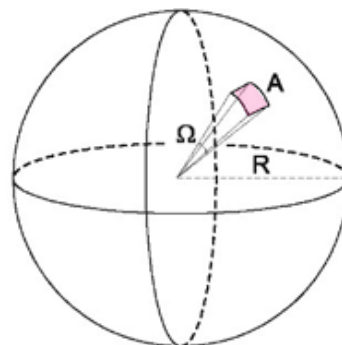
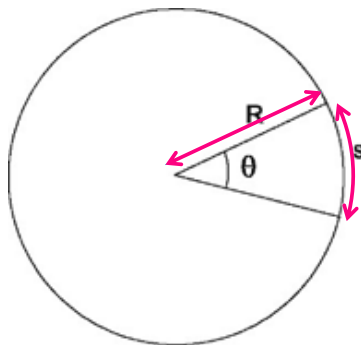


image from:  
[www.globalspec.com](http://www.globalspec.com)

# Grandezze radiometriche



## ❖ Radianza ( $L$ ):

potenza **emessa** da una superficie luminosa, per unità di area e angolo solido di emissione

- È la misura di **quanto "abbaglia"** una superficie luminosa
- Unità di misura: Watt / ( $\text{m}^2 \text{sr}$ ) ; ( $\text{W m}^{-2} \text{sr}^{-1}$ )

## ❖ Irradianza ( $E$ ):

potenza **ricevuta** su una superficie, per unità di area

- È la misura di **quanto viene illuminata** una superficie luminosa
- Unità di misura: Watt /  $\text{m}^2$  ; ( $\text{W m}^{-2}$ )

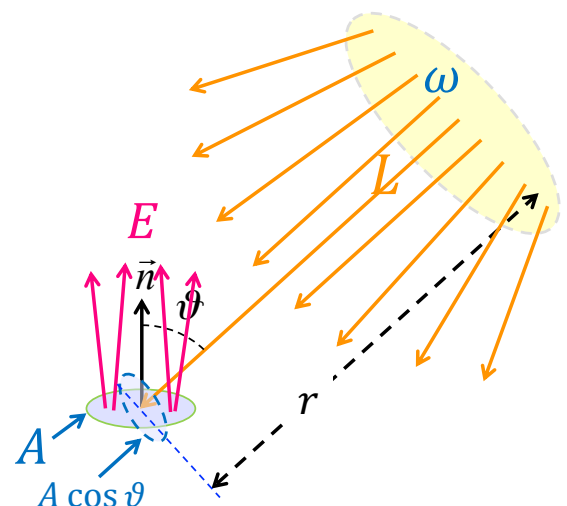
## Legge di Lambert ("legge del coseno"):

la **irradianza  $E$**  di una superficie illuminata da una sorgente con **radianza  $L$**  vale:

$$E = \frac{L \omega}{r^2} \cos \vartheta$$

in forma differenziale:

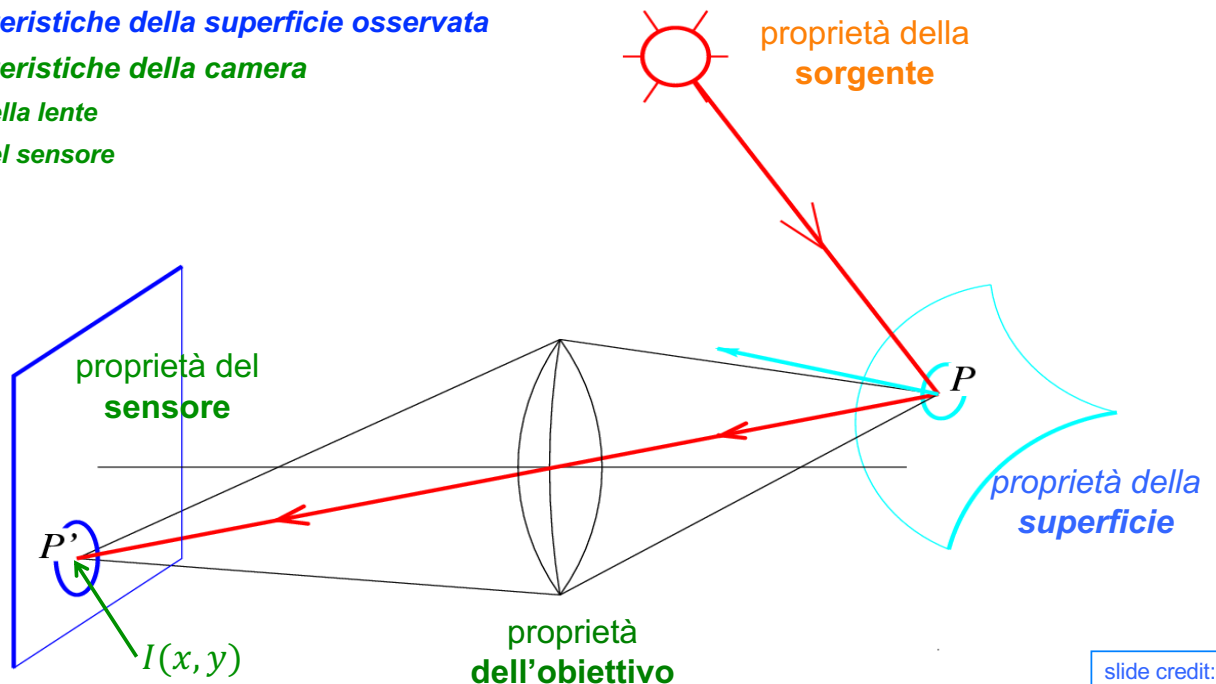
$$dE = \frac{L}{r^2} \cos \vartheta d\omega$$





## Che cosa determina la luminosità di un pixel?

- ❖ **Caratteristiche della sorgente**
- ❖ **Caratteristiche della superficie osservata**
- ❖ **Caratteristiche della camera**
  - della lente
  - del sensore



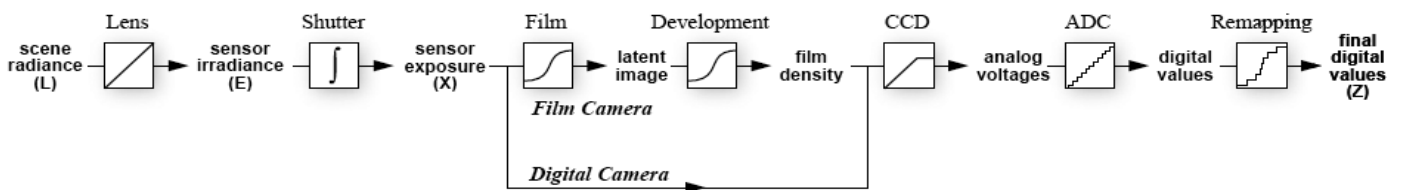
slide credit:  
L. Fei-Fei

# Modello di luminosità di un pixel

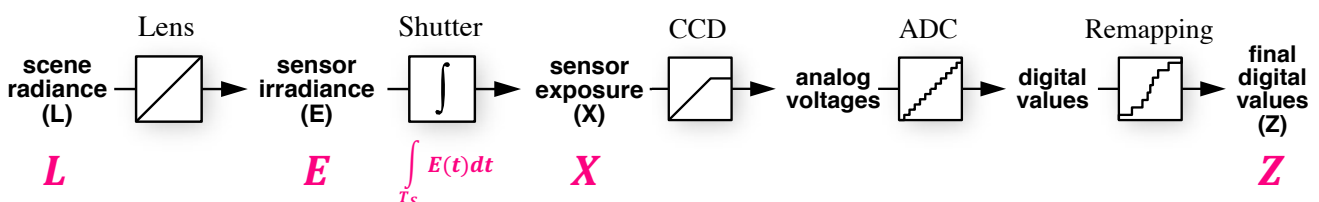


## Che cosa determina la luminosità di un pixel?

- ❖ **Image Acquisition Pipeline** [Debevec, Malik]  
da: radianza del punto di scena  $L$  → a: valore di luminanza/colore del pixel  $Z$



- ❖ **Il nostro caso: immagini digitali**

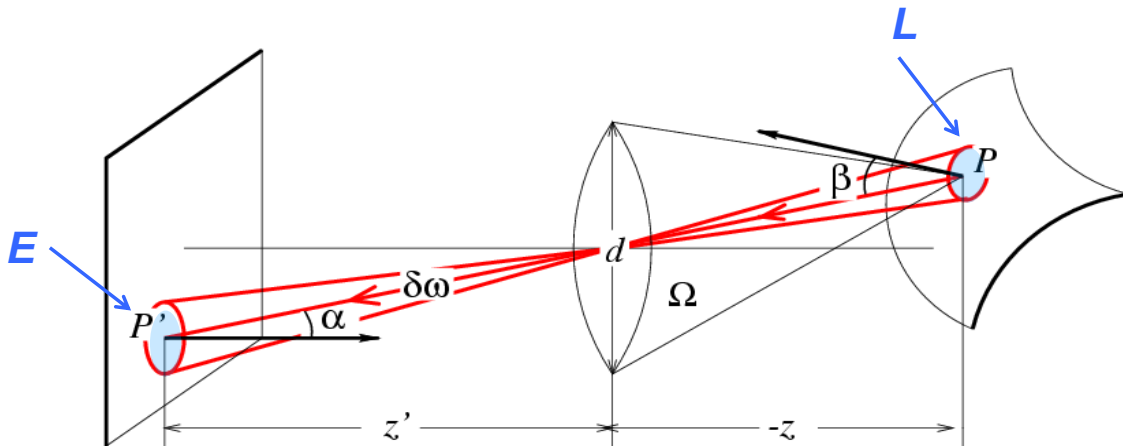




## Radiometria delle lenti sottili

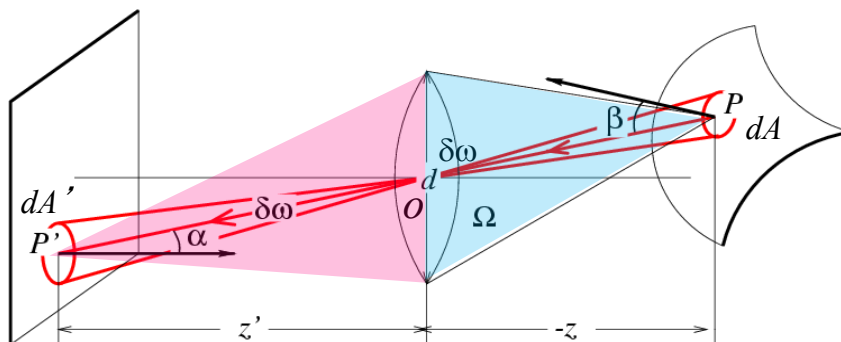
- ❖  $L$ : radianza emessa dal punto  $P$  della sorgente, verso  $P'$
- ❖  $E$ : irradianza ricevuta nel punto immagine  $P'$  attraverso la lente

**Che relazione c'è tra  $L$  ed  $E$  ?**



Forsyth & Ponce, Sec. 4.2.3

# Radiometria di sistemi ottici a lenti sottili



$$|OP| = \frac{z}{\cos \alpha}$$

$$|OP'| = \frac{z'}{\cos \alpha}$$

$$\text{Area lente: } \frac{\pi d^2}{4}$$

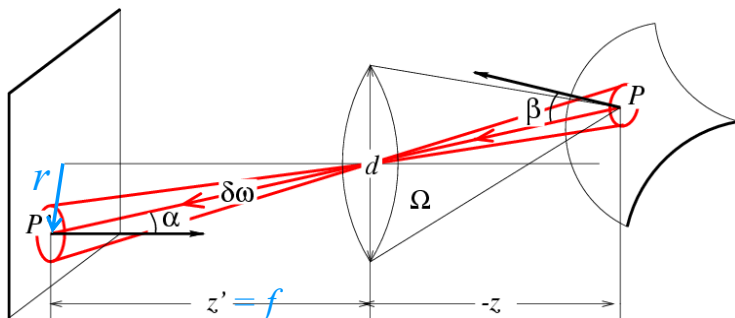
Il contributo di **potenza  $dP$**  emessa dalla sorgente  $dA$  di radianza  $L$  verso la lente:

$$dP = L \Omega dA \cos(\beta) \quad \Omega = \frac{\text{Area}}{|OP|^2} = \frac{\frac{\pi}{4} d^2 \cos \alpha}{\left(\frac{z}{\cos \alpha}\right)^2} = \frac{\pi}{4} \left(\frac{d}{z}\right)^2 \cos^3 \alpha \quad \rightarrow \quad dP = \frac{\pi}{4} \left(\frac{d}{z}\right)^2 L \cos^3 \alpha \cos \beta dA$$

La potenza  $dP$  viene concentrata dalla lente in  $P'$ , dando quindi **irradianza  $E$**  sull'areola  $dA'$ :

$$E = \frac{dP}{dA'} = \frac{\pi}{4} \left(\frac{d}{z}\right)^2 L \frac{dA}{dA'} \cos^3 \alpha \cos \beta \quad \delta \omega = \frac{dA' \cos \alpha}{(z' / \cos \alpha)^2} = \frac{dA \cos \beta}{(z / \cos \alpha)^2} \quad \rightarrow \quad \frac{dA}{dA'} = \frac{\cos \alpha}{\cos \beta} \left(\frac{z}{z'}\right)^2$$

$$E = \left[ \frac{\pi}{4} \left(\frac{d}{z'}\right)^2 \cos^4 \alpha \right] L$$



$$E = \left[ \frac{\pi}{4} \left( \frac{d}{z'} \right)^2 \cos^4(\alpha) \right] L$$

$$\approx \left[ \frac{\pi}{4} \frac{1}{N^2} \frac{f^4}{(f^2 + r^2)^2} \right] L$$

$f$ : lunghezza focale =  $z'$

$1/N$ : apertura (f-number) =  $d / f$

$\alpha$ : deviaz. ang.:  $\cos \alpha = \frac{f}{|OP'|} = \frac{f}{\sqrt{f^2 + r^2}}$

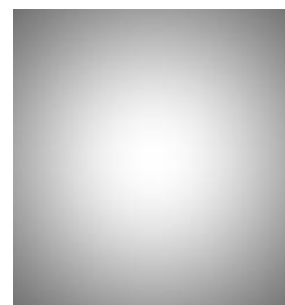
## L'irradianza $E$ :

- è direttamente proporzionale alla radianza  $L$
- è proporzionale al quadrato dell'apertura:  $1/N = d/f$
- cala allontanandosi dal centro ottico come  $\cos^4 \alpha = \left( \frac{f}{\sqrt{f^2 + r^2}} \right)^4$

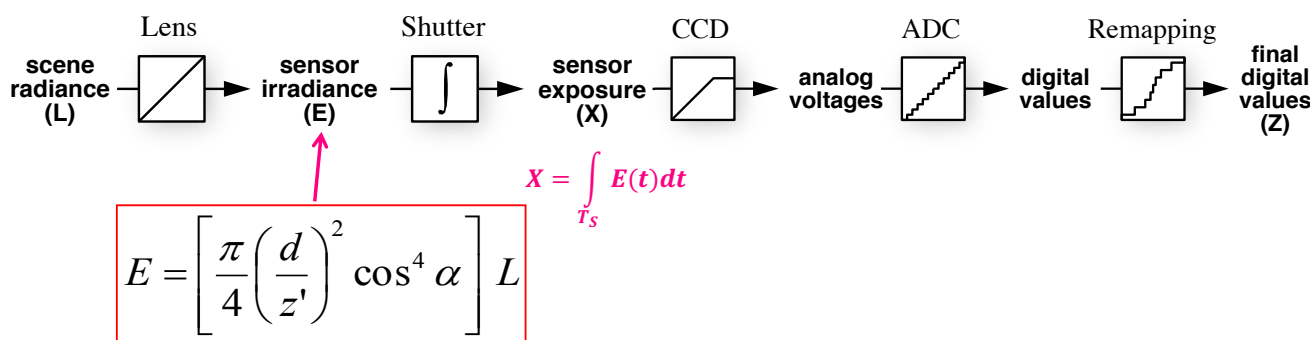
## Applicazioni:

- calibrazione intrinseca**: posso stimare  $f, d, c_x, c_y, \dots$

S. B. Kang and R. Weiss,  
Can we calibrate a camera using an image of a flat, textureless Lambertian surface?  
ECCV 2000



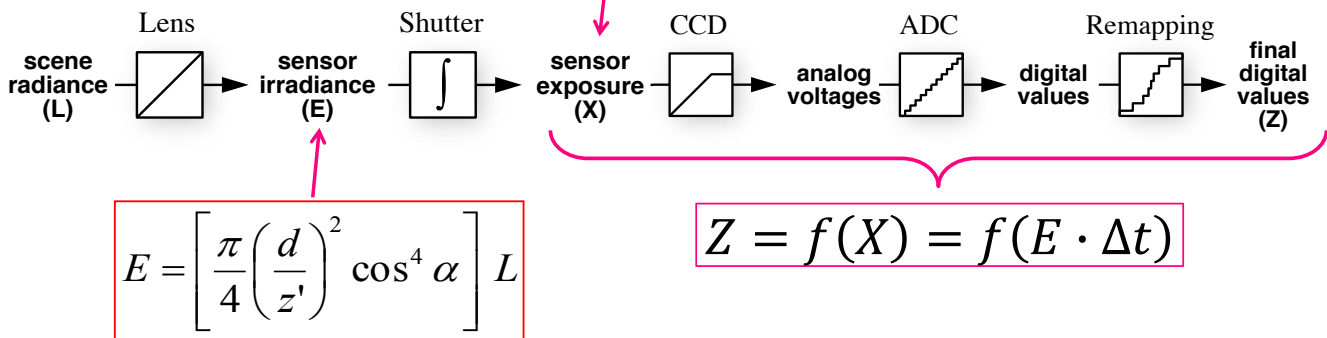
## Che cosa determina la luminosità di un pixel?



Source: S. Seitz, P. Debevec



$$X = \int_{T_s} E(t) dt = E \cdot \Delta t \quad (\text{se } E \text{ è costante nel tempo})$$

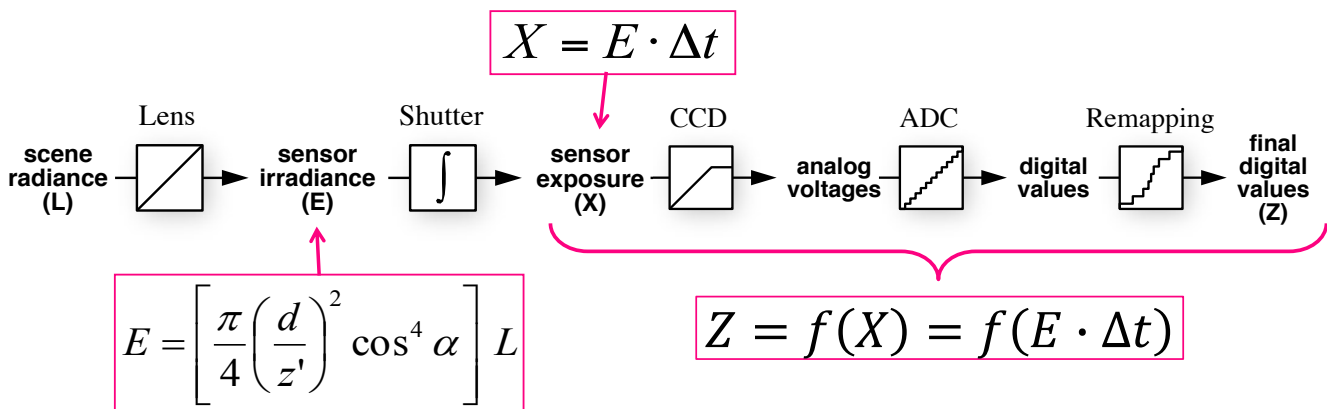


## Calibrazione radiometrica:

Determinazione della relazione  $Z = f(E)$  ( $Z$  noto,  $E$  incognito)

**X: Esposizione:** energia raccolta nel punto immagine [ $\text{Joule/m}^2 = \text{Watt} \cdot \text{s/m}^2$ ]

$$X = E \cdot \Delta t = L \cdot A^2 \cdot \Delta t \quad [\text{J/m}^2]$$



## Principio di reciprocità:

- ❖ il sensore misura **energia** → è sensibile all'esposizione  $X = E \cdot \Delta t$   
→ non è in grado di distinguere  $E$  da  $\Delta t$
- ❖  $\Delta t$  però è **noto** (parametro controllato nel processo di acquisizione)

**Calibrazione radiometrica:** stima di

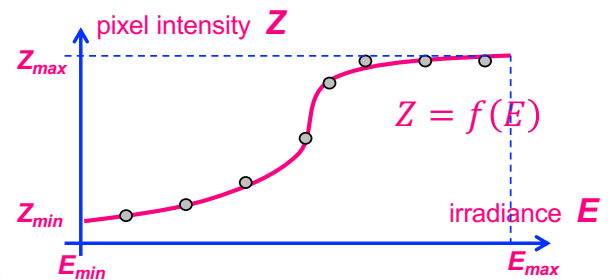
$$f: Z = f(X) \rightarrow E = \frac{X}{\Delta t}$$



## Calibrazione radiometrica: stima di $f: Z = f(X)$

- $f$  in genere è non lineare, soprattutto agli estremi, anche per aumentare il **range dinamico (DR)**:

$$DR_E = \frac{E_{max}}{E_{min}} > DR_Z = \frac{Z_{max}}{Z_{min}}$$



Come ottenere una calibrazione radiometrica?

### 1. Modellazione a priori

Modellazione fisica accurata di ogni fase della pipeline

- misuro: apertura, sensibilità del chip, ADC ... →  $X$  "really hard to get right"

### 2. Calibrazione radiometrica con radianze note

- Acquisizione di immagini multiple di scene con **radianza  $L$**  nota
- Misura dei valori di intensità corrispondenti
- Determinazione della funzione interpolante → **curva di calibrazione**

**Problema:** anche  $L$  è difficile da conoscere/fissare a priori!

slide credit:  
Steve Seitz



### 3. Calibrazione radiometrica con esposizioni multiple

- Acquisisco più immagini della **stessa scena** (stessa  $E$ ) con esposizioni differenti
  - Tipicamente, con tempi diversi:  $1/1000$  s,  $1/100$  s,  $1/10$  s, 1 s
- L'esposizione di ogni pixel  $X = E\Delta t$  varia di conseguenza
  - nell'esempio varia di un fattore **10** ogni volta
- I valori del pixel  $Z$  ad ogni esposizione saranno:

$$f(X=E), f(X=10 E), f(X=100 E), \dots$$

#### Calibrazione radiometrica:

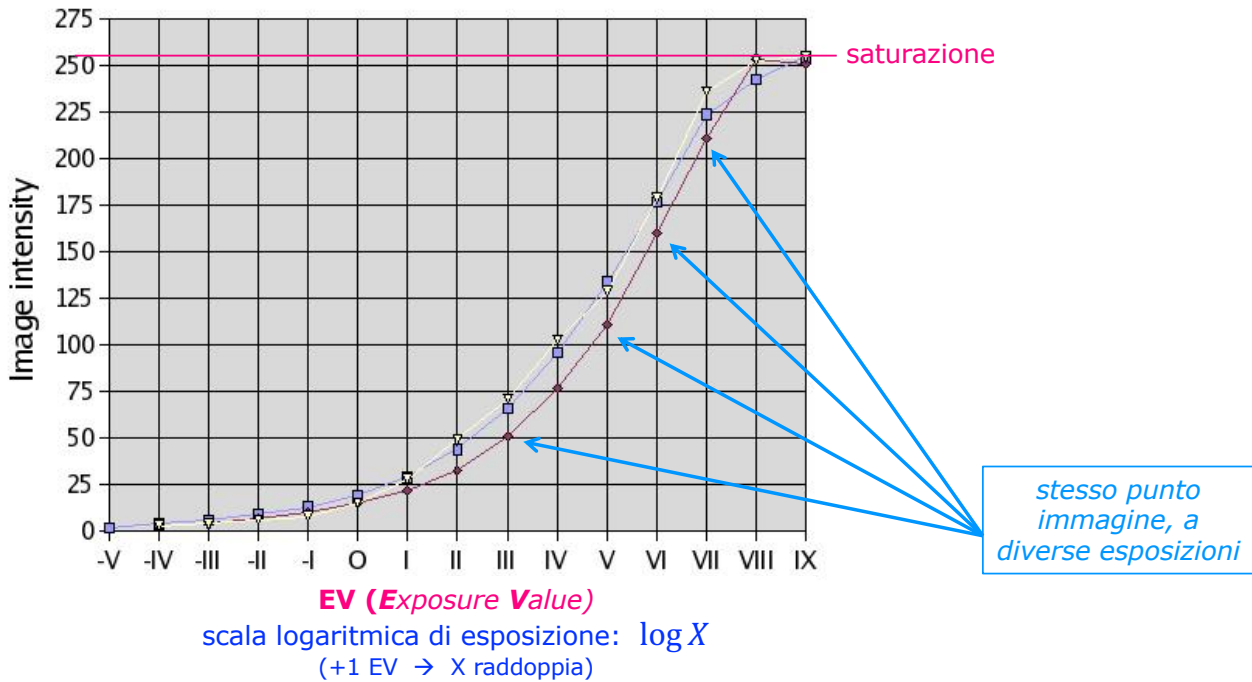
curva interpolante la risposta tra i punti ottenuti sul grafico  $Z = f(X)$



slide credit:  
Steve Seitz

## Esempio di calibrazione radiometrica:

- ❖ sensore digitale con risoluzione 8 bit/pixel → 256 livelli di grigio



## Esposizione (X) e range dinamico (EV)

L'irradianza  $E$  in una scena può avere un **range dinamico** molto elevato, quindi **troppo elevato** per essere rilevato dal sensore (CCD, CMOS) della camera

**EV – Exposure Value:** scala logaritmica di esposizione

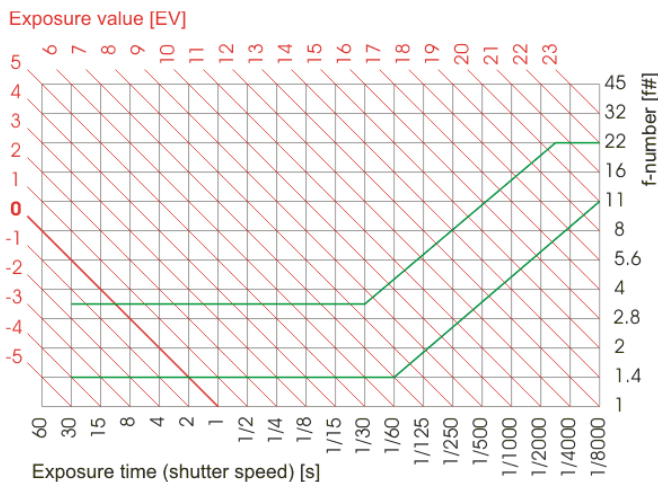
- 1 EV ("1 stop") → **fattore 2** su  $X$  ( $X$  raddoppia)

$$EV = \log_2 L + k$$

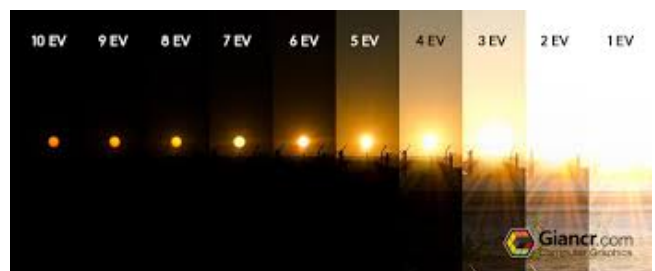
- ❖ Dato **EV ( $L$ )**, per regolare  $X$  sul sensore, posso:

- cambiare l'**apertura:  $A$**
- cambiare il **tempo di esposizione:  $\Delta t$**

$$X = E \cdot \Delta t = L \cdot A^2 \cdot \Delta t$$



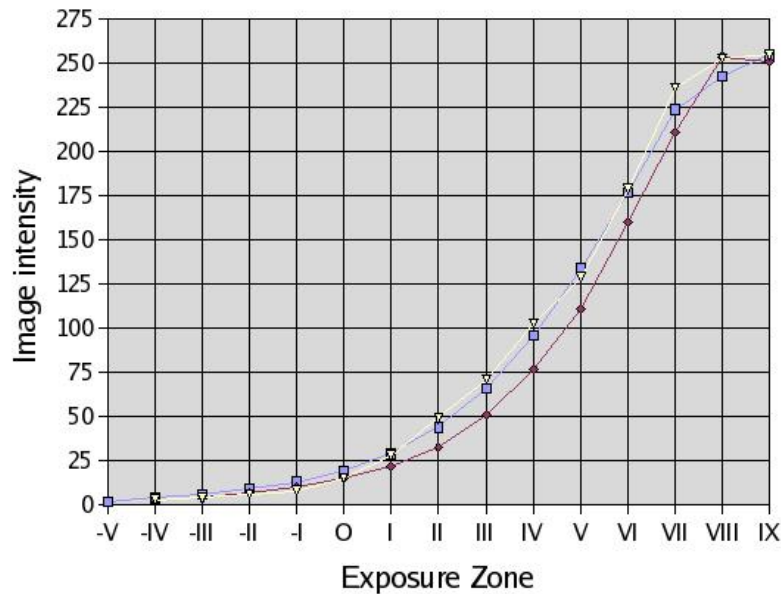
$$DR = \frac{L_{EV23}}{L_{EV-5}} = 2^{28} = 2,62 \cdot 10^8$$



Un sensore è quantizzato su 8÷12 bit → 256÷4096 livelli di energia



il sensore digitale percepisce **solo una piccola porzione** del range dinamico!



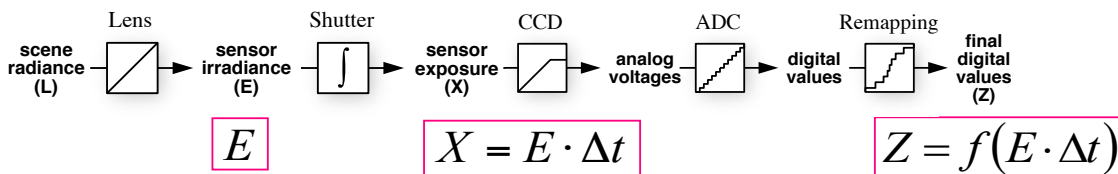
## Calibrazione radiometrica e HDR

### Mappe HDR (High Dynamic Range)

Combino due operazioni:

calibrazione radiometrica e stima della irradianza  $E$  (con il suo range dinamico)

- ❖ P.E. Debevec and J. Malik. *Recovering High Dynamic Range Radiance Maps from Photographs*. SIGGRAPH 1997



### Tecnica:

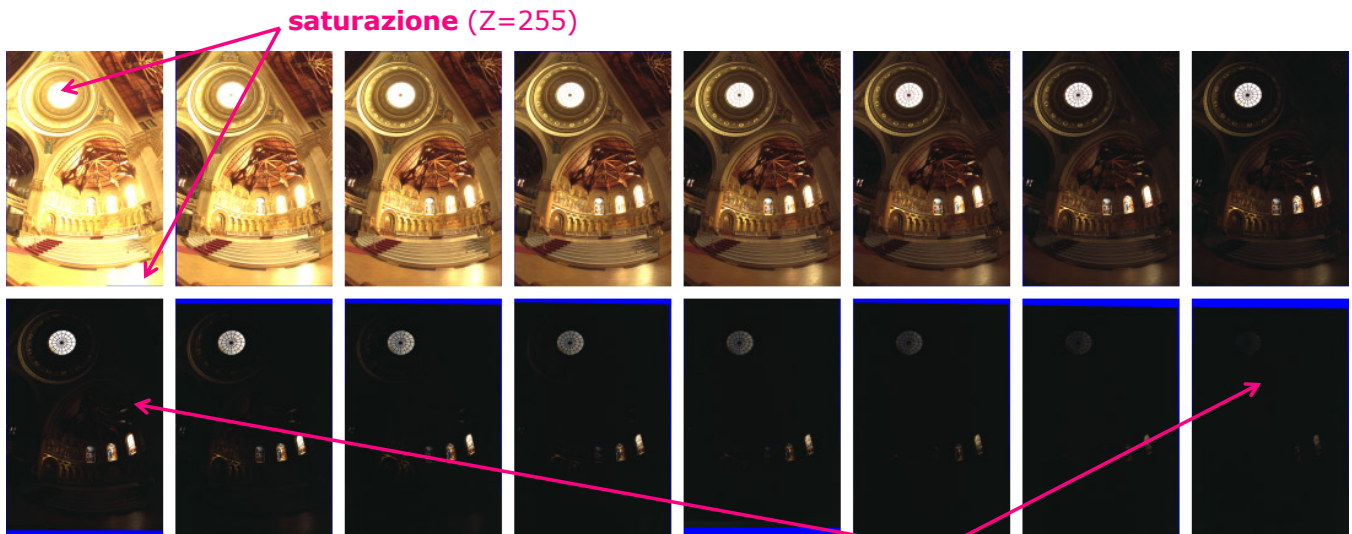
- ❖ *Acquisisco  $N$  immagini della stessa scena, con  $N$  esposizioni ( $\Delta t$ ) diverse fino ad avere tutto il range dinamico di  $E$  "ben esposto" in almeno una immagine*
  - Non cambio l'esposizione con il diaframma ( $A$ ), perché cambierebbe  $E$ !
  - ➔ avrò pixel sottoesposti ( $Z=Z_{\text{MIN}}$ ) e sovraesposti ( $Z=Z_{\text{MAX}}$ )
- ❖ *Per ogni pixel  $i$  dell'esposizione  $j$  ho un valore di intensità  $Z_{i,j}$ :*

$$Z_{i,j} = f(E_i \cdot \Delta t_j)$$



## Immagini a diverse esposizioni:

- ❖ Una singola immagine non è in grado di rappresentare l'intero range dinamico



sotto soglia di sensibilità ( $Z=0$ )

- ❖ 16 differenti esposizioni – differenza: **1 stop** (1 EV) tra adiacenti
- ❖  $\Delta t$ : da  $1/1024$  s ( $2^{-10}$ ) a  $32$  s ( $2^5$ )  $\rightarrow$  **DR** =  $2^8 \cdot 2^{15} \sim$  **8.000.000**

$$Z_{i,j} = f(E_i \cdot \Delta t_j)$$

# Calibrazione radiometrica e HDR



- ❖  $f(Z)$  è monotona, quindi **invertibile**:  $Z_{i,j} = f(E_i \cdot \Delta t_j) \rightarrow f^{-1}(Z_{i,j}) = E_i \cdot \Delta t_j$

- ❖ Applico il **logaritmo** a entrambi i membri:

$$\ln f^{-1}(Z_{i,j}) = g(Z_{i,j}) = \ln E_i + \ln \Delta t_j \rightarrow g(Z_{i,j}) - \ln E_i - \ln \Delta t_j = 0$$

- ❖ Per **P** pixel rappresentativi, **N** esposizioni,

**G** campioni della funzione  $g(): Z \rightarrow X$  (ad es.  $G=256$  valori di  $Z$ ):

- **P+G** incognite ( $E_i, g$ ) se: **(N-1)P > G**  $\rightarrow$  sistema **risolvibile** (sovradet.)
- **NP** equazioni ( $Z_{i,j}$ )

## Soluzione:

trovo  $\hat{\mathbf{m}} = \langle \mathbf{E}, \mathbf{g} \rangle$  che minimizza la funzione:

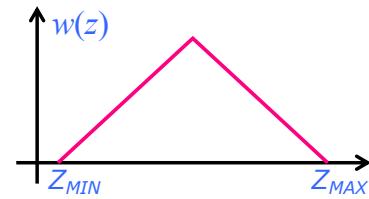
$$\mathfrak{S}(\mathbf{E}, \mathbf{g}) = \sum_i^P \sum_j^N \left( g(Z_{i,j}) - \ln E_i - \ln \Delta t_j \right)^2 + \lambda \sum_z^{0-255} g''(z)^2$$

$$\hat{\mathbf{m}} = \langle \hat{\mathbf{E}}, \hat{\mathbf{g}} \rangle = \underset{\mathbf{E}, \mathbf{g}}{\operatorname{argmin}} \mathfrak{S}(\mathbf{E}, \mathbf{g})$$

termine di **regolarizzazione**:  
cresce con  $g''(z)$

$\lambda$ : peso della regolarizzazione di  $g()$  (scelto in base al rumore su  $Z$ )

**Pesatura:** aggiungo una funzione peso  $w(z)$  per pesare meno il fitting agli estremi della risposta del sensore



$$\mathfrak{S}(E, g) = \sum_i^P \sum_j^N \left( w(Z_{i,j}) g(Z_{i,j}) - \ln E_i - \ln \Delta t_j \right)^2 + \lambda \sum_z^{0-255} \left[ w(z) g''(z) \right]^2$$

❖ Funzione quadratica nelle incognite → risolvibile in forma chiusa mediante sistema lineare sovradeterminato omogeneo:

$$\mathbf{A} \cdot \mathbf{m} = \mathbf{0}, \quad \mathbf{m} = \langle \mathbf{E}, \mathbf{g} \rangle: \quad [P + G]$$

❖ Risolvo mediante SVD:  $[\mathbf{U}, \mathbf{S}, \mathbf{V}] = \text{svd}(\mathbf{A}) \rightarrow \hat{\mathbf{m}} = \mathbf{V}(:, \text{end})$

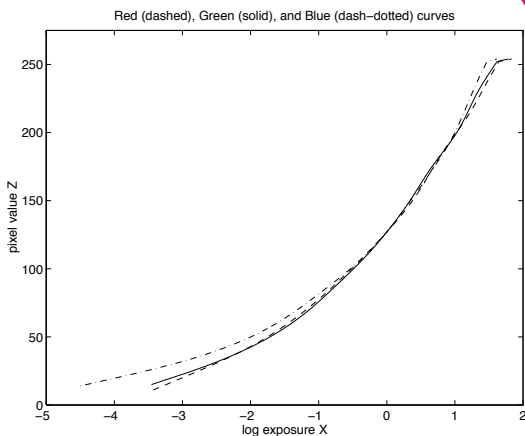
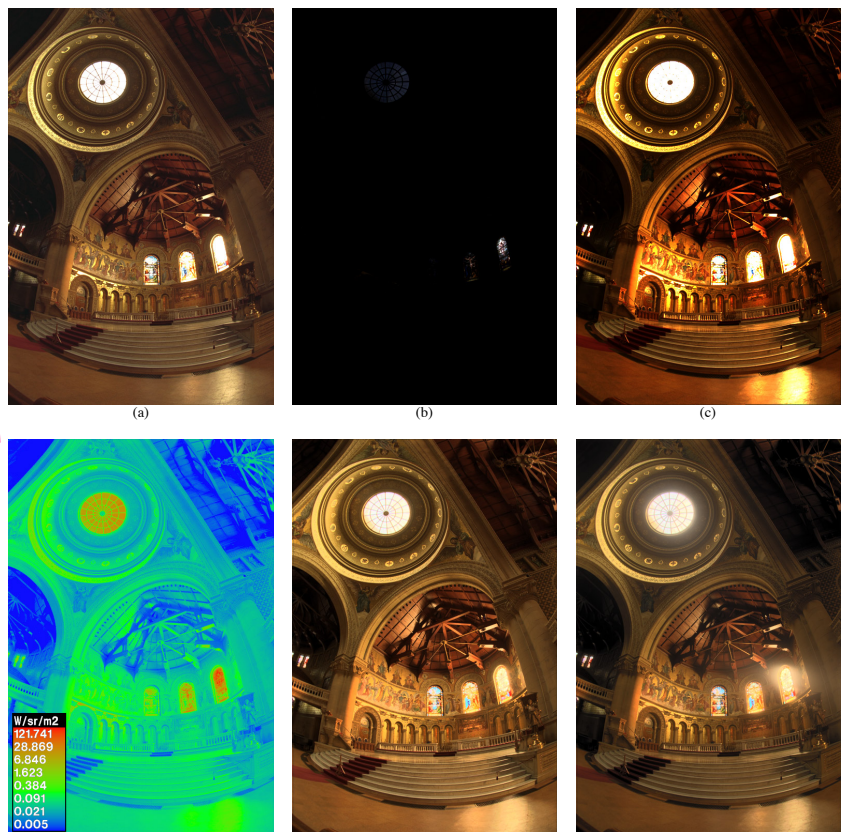
❖ Noto  $\mathbf{m}$ , posso ricavare l'irradianza  $E_i$  per tutti i pixel dell'immagine:

$$\ln E_i = \frac{\sum_{j=1}^N w(Z_{ij}) (g(Z_{ij}) - \ln \Delta t_i)}{\sum_{j=1}^N w(Z_{ij})}$$

# Calibrazione radiometrica

## Risultati:

- ❖ mappa irradianza
- ❖ calibrazione radiometrica



## Generazione di un'immagine (image formation)

### Aspetti radiometrici di formazione dell'immagine

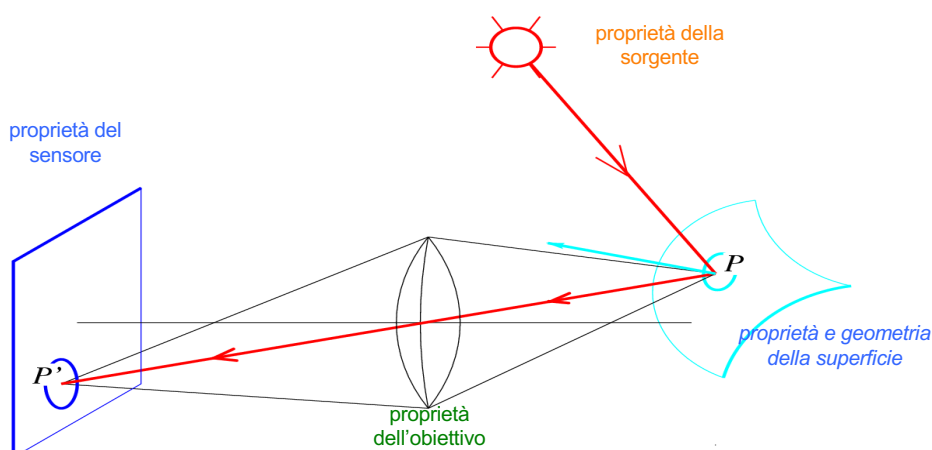
- ❖ Modello radiometrico di camera
  - della lente
  - del sensore (calibrazione radiometrica, HDR)
- ❖ **Modelli di riflessione superficiale**
- ❖ Applicazioni:
  - Lightness constancy
  - Photometric stereo
  - BRDF – Helmholtz stereopsis

(Forsyth/Ponce: Capitolo 2)

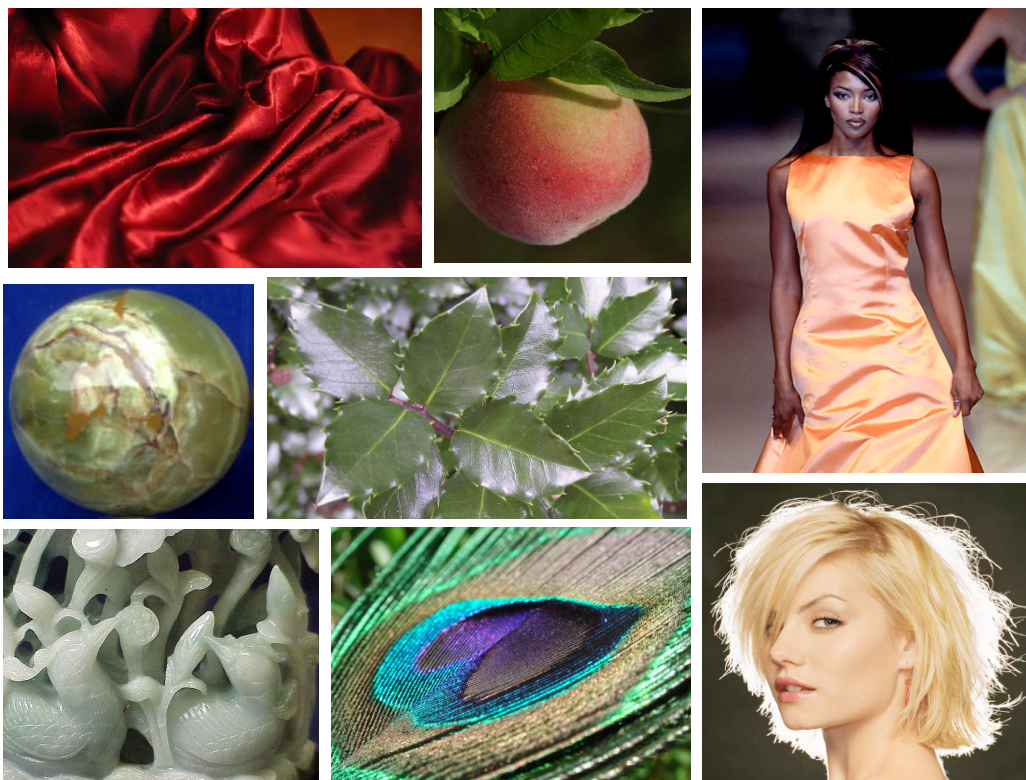
## Modelli di riflessione superficiale



- ❖ Cosa succede a un raggio di luce che colpisce un oggetto?
  - parte della luce viene **assorbita** (es. convertita in calore)
  - parte viene **trasmessa** attraverso l'oggetto (es. rifrazione)
  - **parte viene riflessa (in varie direzioni)**
  - altro (fluorescenza)
- ❖ Consideriamo in dettaglio la **riflessione**
  - Come possiamo **modellizzare la riflessione** nelle varie direzioni?



slide credit:  
Steve Seitz

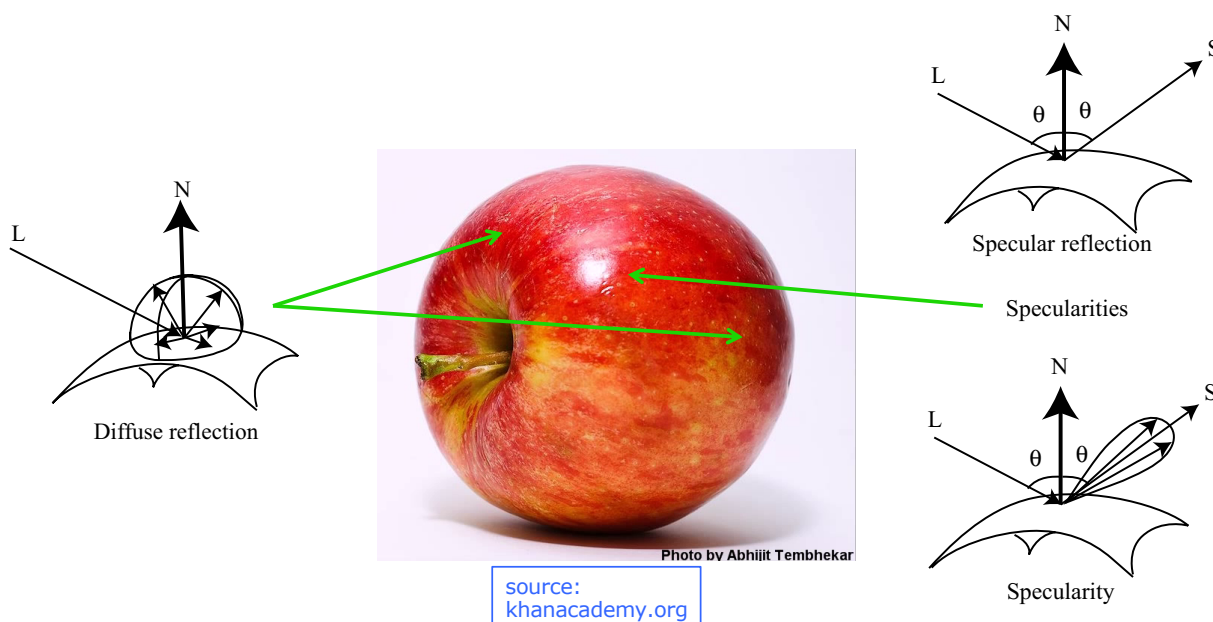


slide credit:  
L. Cinque

## Diffuse (Lambertian)/Specular surface model



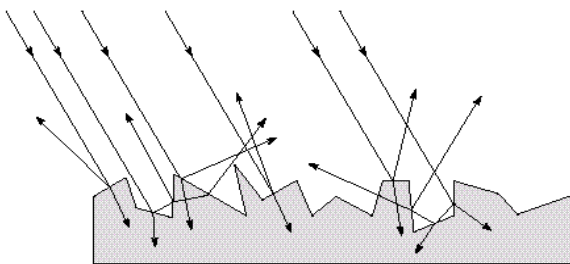
- ❖ Modello di riflessione più comune:  
riflessione **diffusa** + riflessione **speculare**





## Riflessione **diffusa** (Lambertiana)

- ❖ Tipica di superfici opache, ruvide
- ❖ A livello microscopico: superficie scabra  
→ riflessione casuale con distribuzione uniforme in tutte le direzioni
- ❖ Intensità di riflessione **costante in tutte le direzioni**  
→ **intensità** (colore) **indipendente** dal **punto di osservazione**



# Riflessione diffusa (Lambertiana)



## Riflessione **diffusa** (o Lambertiana):

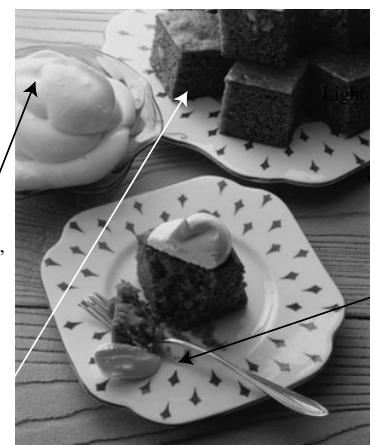
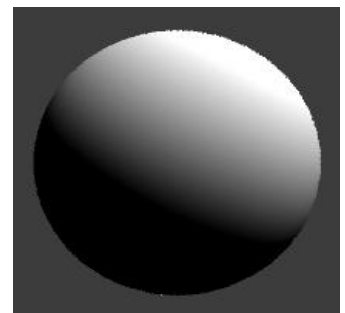
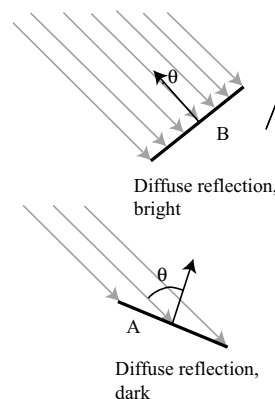
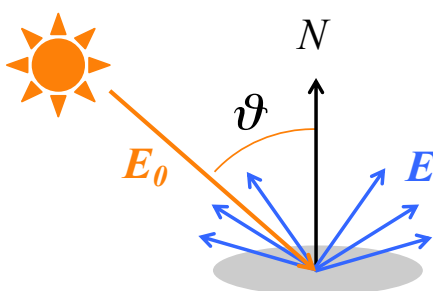
l'irradianza osservata  **$E$** :

- non dipende dalla direzione di osservazione,
- ma solo dalla direzione di illuminazione.

$$E = \rho E_0 \cos \vartheta = \rho (\vec{N} \cdot \vec{E}_0)$$

**$\rho$  albedo**: frazione della radiosità incidente, riflessa dalla superficie:  $0 < \rho < 1$  (in realtà  $0.05 < \rho < 0.90$ )

- ❖  **$N$** : versore normale alla superficie
- ❖  **$E_0$** : irradianza incidente



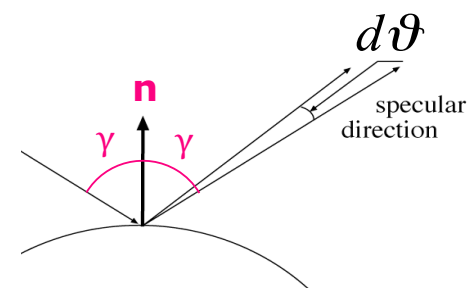
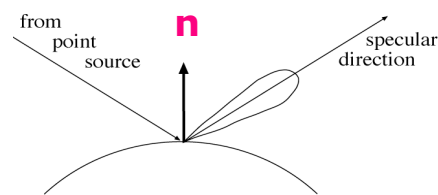
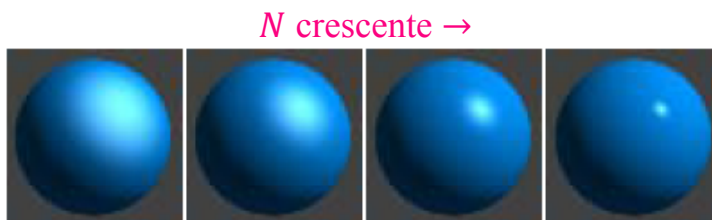


## Riflessione speculare

- ❖ La radiazione incidente viene riflessa prevalentemente lungo la direzione speculare (simmetrica rispetto alla normale  $\mathbf{n}$ )
- ❖ La distribuzione angolare dell'energia riflessa in direzione speculare definisce un lobo speculare
- ❖ **Modello di Phong**: distribuzione angolare del lobo speculare:

$$E(d\vartheta) = \cos^N(d\vartheta)$$

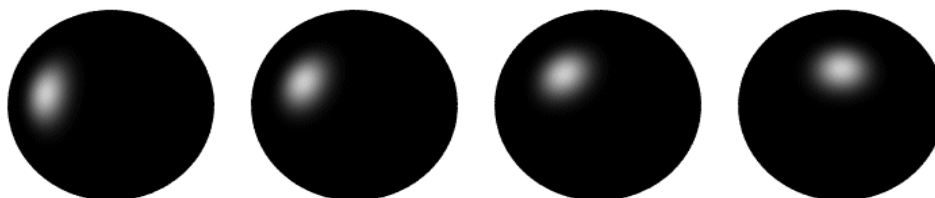
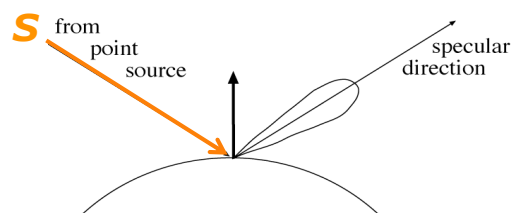
- ❖ Il coefficiente all'esponente  $N$  determina la "specularità" della superficie:



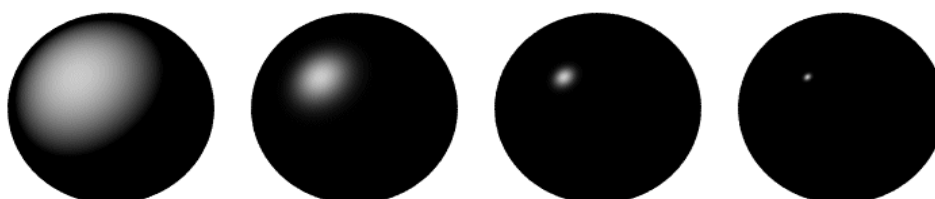
# Specular reflection



**Modello di Phong:**  $E(d\vartheta) = \cos^N(d\vartheta)$



al variare della direzione di illuminazione  $S$



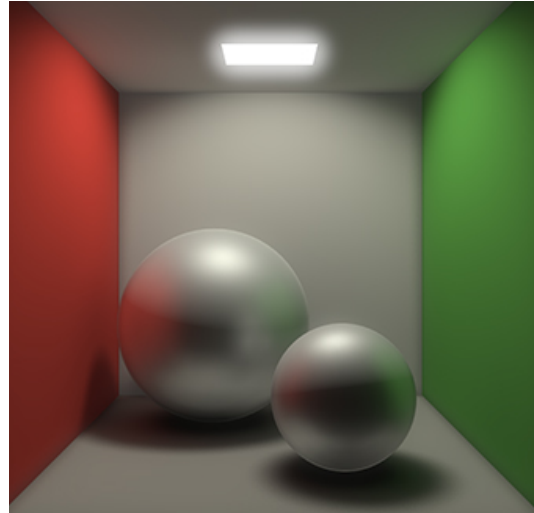
al variare dell'esponente  $N$



## Modello generale di riflessione superficiale

combinazione di **tre** termini:

- ❖ riflessione della radianza diffusa dalla sorgente (se non in ombra)
- ❖ riflessione speculare
- ❖ riflessione della radianza diffusa dall'ambiente



$$E(x) = \underbrace{\rho(x)(\mathbf{N} \cdot \mathbf{S})}_{\text{riflessione diffusa}} \underbrace{\text{Vis}(\mathbf{S}, x)}_{\text{se } x \text{ 'vede' } \mathbf{S}} + \underbrace{\rho(x)A}_{\text{illuminaz. ambiente}} + \underbrace{M}_{\text{rifless. speculare}}$$

$$\text{Vis}(\mathbf{S}, x) = \begin{cases} 1, & x \text{ 'vede' } \mathbf{S} \\ 0, & x \text{ in ombra} \end{cases}$$



## Generazione di un'immagine (image formation)

### Aspetti radiometrici di formazione dell'immagine

- ❖ Modello radiometrico di camera
  - della lente
  - del sensore (calibrazione radiometrica, HDR)
- ❖ Modelli di riflessione superficiale
- ❖ **Applicazioni:**
  - Lightness constancy
  - Photometric stereo
  - BRDF – Helmholtz stereopsis

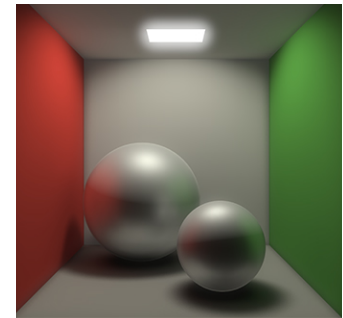
(Forsyth/Ponce: Capitolo 2)



## Modello generale di riflessione superficiale

- ❖ riflessione **diffusa** (se non in ombra)
- ❖ riflessione della radianza d'**ambiente**
- ❖ riflessione **speculare**

$$E(\mathbf{x}) = \underbrace{\rho(\mathbf{x})(\mathbf{N} \cdot \mathbf{S})}_{\text{riflessione diffusa}} \underbrace{\text{Vis}(\mathbf{S}, \mathbf{x})}_{\text{illuminaz. ambiente}} + \underbrace{\rho(\mathbf{x})A}_{\text{illuminaz. ambiente}} + \underbrace{M}_{\text{rifless. speculare}}$$



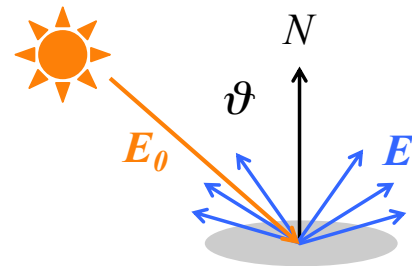
## Modello semplificato: soltanto riflessione diffusa:

$$E(\mathbf{x}) = \rho(\mathbf{x})(\mathbf{N} \cdot \mathbf{S}) = \rho(\mathbf{x})E_0 \cos \vartheta$$

## Ambiguità albedo/illuminante:

data  $E(\mathbf{x})$ , non è possibile risalire alla albedo  $\rho(\mathbf{x})$

- ❖ Anche in caso di modelli semplici (superficie Lambertiana, illuminatore distante),  $E(\mathbf{x})$  è il prodotto di illuminante  $E_0$  per la albedo  $\rho(\mathbf{x})$



$$E(\mathbf{x}) = \rho(\mathbf{x})(\mathbf{N} \cdot \mathbf{E}_0) = \rho(\mathbf{x})E_0(\mathbf{x})$$

# Lightness Constancy



## Lightness Constancy: separazione albedo/illuminazione

- ❖ Ipotesi semplificative:
  - scena sostanzialmente frontale
  - camera *lineare* (calibrata):  $Z(x) \rightarrow I(x) = k_{cam}E(x)$
  - superfici a **riflessione diffusa**
  - assenza di ombre

$$I(x) = k_{CAM} E(x) \rho(x) \rightarrow \log I(x) = \log k_{CAM} + \log E(x) + \log \rho(x)$$

## Principio:

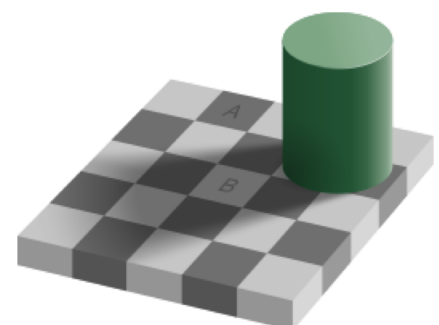
- ❖ **albedo** NON varia o varia bruscamente (es. 2 oggetti diversi, cambio colore),
- ❖ **illuminazione** varia lentamente (variazione geometria/normale)

### Algoritmo "Retinex" (Land & McCann, 1971):

1. calcolo gradiente del logaritmo dell'immagine:  $\mathbf{G}(x,y)$
2. se  $|\mathbf{G}(x,y)| < \mathbf{T} \rightarrow \mathbf{G}(x,y) = 0$
3. integro  $\mathbf{G}(x,y) \rightarrow$  esponenziale  $\rightarrow \mathbf{I}'(x)$

Nell'integrazione perdo la costante:

ASSUNZIONE: **punto più brillante dell'immagine**  $\rightarrow$  bianco





## Lightness Constancy:

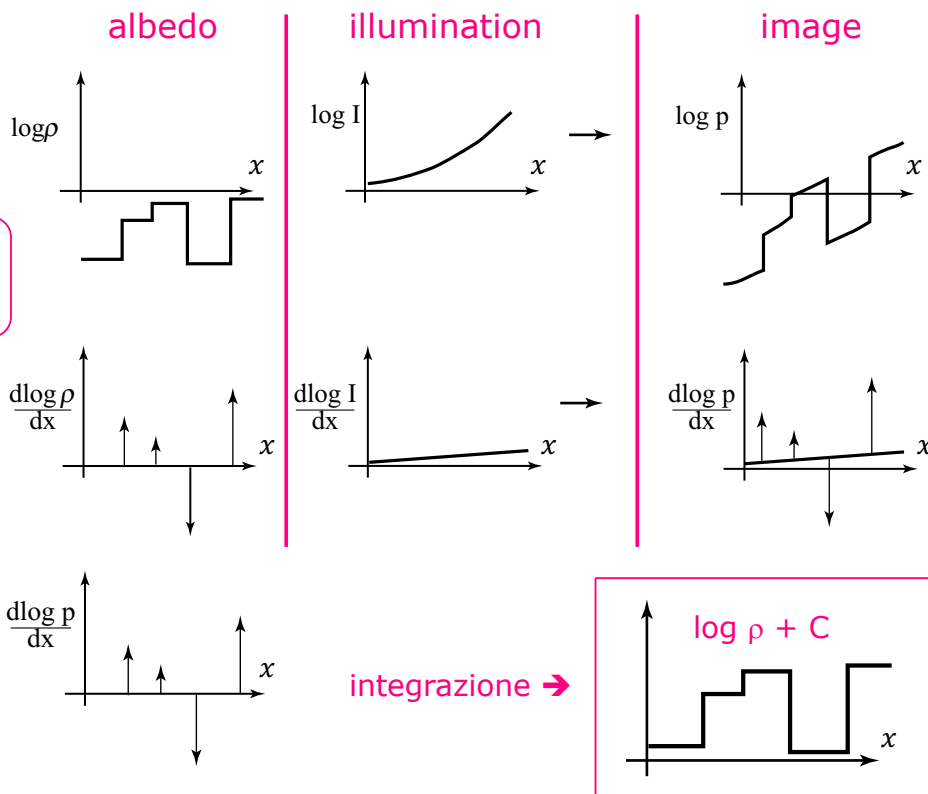
separazione  
albedo/illuminazione

Algoritmo "Retinex"  
in 1-D:

$$\log I(x) = k_l + \log E(x) + \log \rho(x)$$

derivata  
(gradiente)

dopo  
sogliatura



# Lightness Constancy



## Esempio:

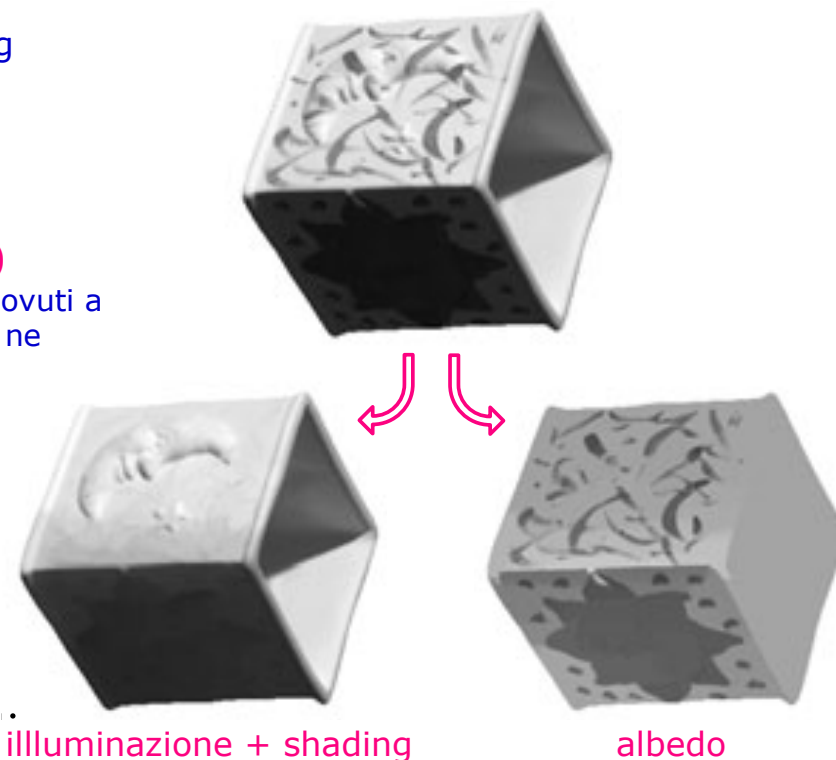
separazione albedo / shading

❖ **albedo:**  $\rho(x)$   
(decorazioni)

da

❖ **shading:**  $E(x) \cos \vartheta(x)$   
(variazioni della luminanza dovuti a illuminazione o al rilievo che ne cambia la normale locale)

luminanza originale



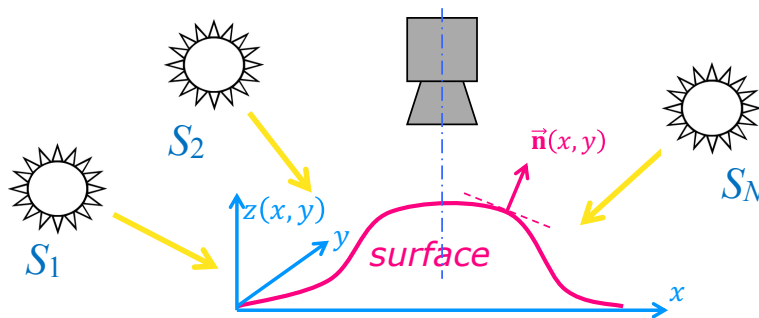
## Photometric stereo – shape from multiple shaded images

Stima della forma 3D a partire da un modello di "shading" della superficie

### ❖ Ipotesi:

- Oggetto da ricostruire con superficie Lambertiana (→ riflessione diffusa)
- "local shading model": ogni punto della superficie illuminato solo dalla sorgente
- **N** sorgenti (illuminanti) illuminano da **N** direzioni note
- **N** immagini dell'oggetto da ricostruire, illuminate con ciascuna delle **N** sorgenti, ma con la stessa posizione camera/oggetto
- Camera model  $\approx$  proiezione ortogonale

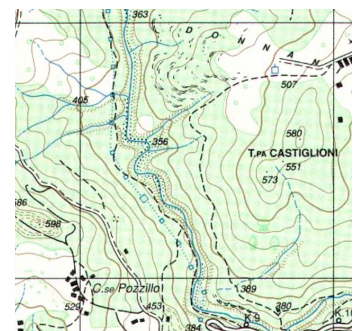
### ❖ Obiettivo: stima della forma 3D (altezza) dell'oggetto



## Surface model: Monge patch

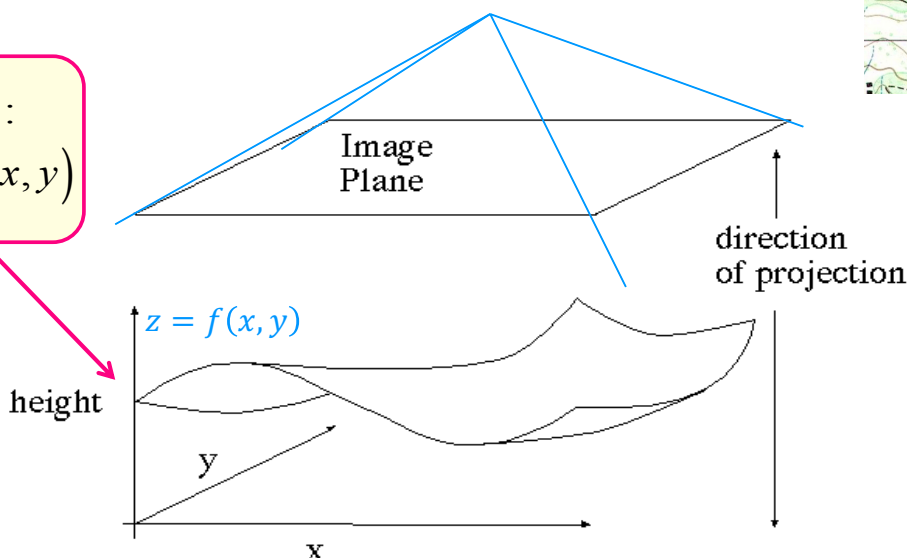
### Camera/surface model

- ❖ Camera model semplificato  $\approx$  proiezione ortogonale
  - piano immagine coplanare al piano di riferimento dell'oggetto  $(x, y)$
- ❖ Surface model: **Monge patch**  
 $z = f(x, y)$ : *depth/height/distance map*



$$z = f(x, y)$$

height:  
 $z = f(x, y)$





## Ipotesi:

❖ *Local shading model:*

→ luminosità del pixel,  $B(x,y)$ :  $B(x,y) = \rho(x,y)(\vec{n}(x,y) \cdot \vec{S}_j)$

direzione sorgente  $j$

❖ *Camera calibrata:*

risposta lineare alla luminosità:  $I(x,y) = k B(x,y)$

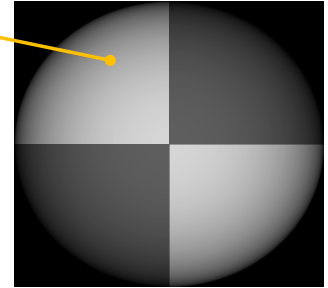
Date: - le direzioni delle  $N$  sorgenti  $\vec{S}_j, j = 1..N$  e

- gli  $N$  valori di luminosità  $I_j(x,y), j = 1..N$

Posso scrivere:  $I_j(x,y) = k B(x,y)$

$$= k \rho(x,y) (\vec{n}(x,y) \cdot \vec{S}_j)$$

$$= (\rho(x,y) \vec{n}(x,y)) \cdot (k \vec{S}_j) = \vec{g}(x,y) \cdot \vec{V}_j$$



Dove:

$$\vec{g}(x,y) = \rho(x,y) \vec{n}(x,y)$$

$$\vec{V}_j = k \vec{S}_j$$

dipende dalla superficie in  $(x,y)$   
(albedo + normale), indipendente da  $j$

dipende dalla sorgente  $j$ -esima,  $j = 1..N$



Per ogni pixel  $(x,y)$

ho  $N$  immagini:  $I_i(x,y)$

$$I_j(x,y) = \vec{V}_j \cdot \vec{g}(x,y); \quad j = 1..N$$

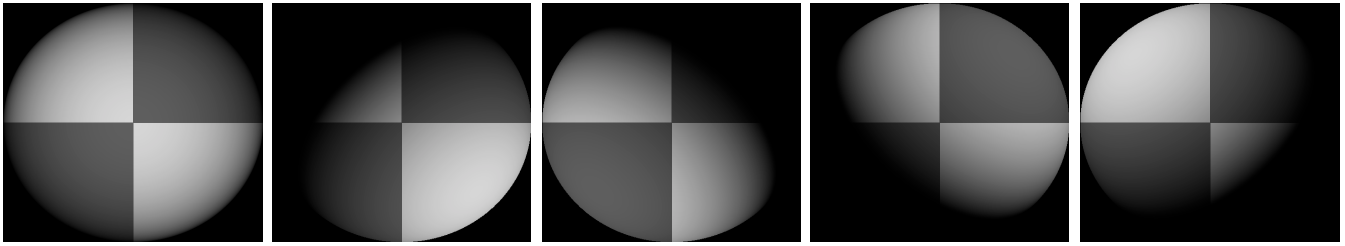
→ possiamo scrivere  $N$  equazioni nelle 3 incognite  $\vec{g}(x,y)$ :

$$\begin{bmatrix} I_1(x,y) \\ I_2(x,y) \\ \vdots \\ I_N(x,y) \end{bmatrix} = \begin{bmatrix} V_1^T \\ V_2^T \\ \vdots \\ V_N^T \end{bmatrix} \vec{g}(x,y) = \begin{bmatrix} v_{1x} & v_{1y} & v_{1z} \\ v_{2x} & v_{2y} & v_{2z} \\ \vdots & \vdots & \vdots \\ v_{Nx} & v_{Ny} & v_{Nz} \end{bmatrix} \begin{bmatrix} g_x(x,y) \\ g_y(x,y) \\ g_z(x,y) \end{bmatrix}$$

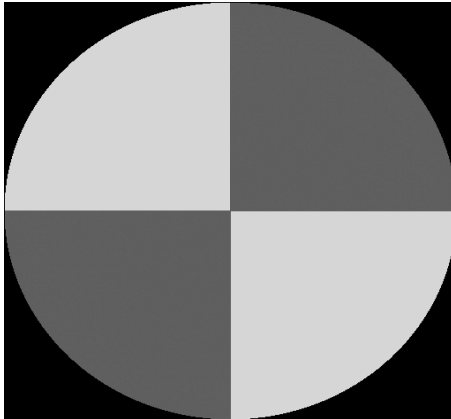
Per  $N \geq 3$  il sistema lineare è determinato → ottengo:

$$\vec{g}(x,y)$$

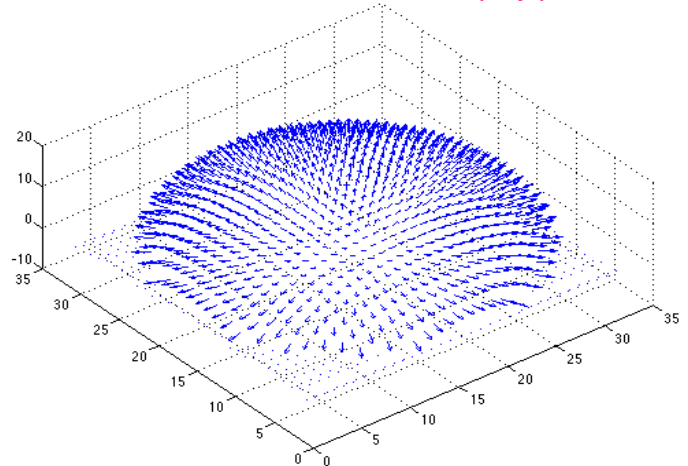
Poiché:  $\vec{g}(x,y) = \rho(x,y) \vec{n}(x,y) \rightarrow \rho(x,y) = |\vec{g}(x,y)|, \quad \vec{n}(x,y) = \frac{\vec{g}(x,y)}{|\vec{g}(x,y)|}$   
e poiché:  $\|\vec{n}\| = 1:$



Albedo:  $\rho(x, y)$



Versore normale:  $\vec{n}(x, y)$



## Photometric stereo – dalle normali alla superficie

dalla normale  $\vec{n}(x, y)$  alla superficie  $z(x, y)$ :

La superficie è definita come (Monge patch):  $\mathbf{x} = \langle x, y, f(x, y) \rangle$

Le derivate parziali definiscono i vettori tangenti  $\mathbf{t}_x$  e  $\mathbf{t}_y$ :

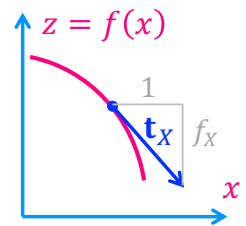
➤  $\mathbf{t}_x$  e  $\mathbf{t}_y$  definiscono il piano tangente a  $f(x, y)$

$$f_x = \frac{\partial f}{\partial x}, f_y = \frac{\partial f}{\partial y} \rightarrow \mathbf{t}_x = \langle 1, 0, f_x \rangle, \mathbf{t}_y = \langle 0, 1, f_y \rangle$$

La normale  $\mathbf{n}(x, y)$  alla superficie è quindi:

$$\vec{n}(x, y) = \frac{1}{\sqrt{f_x^2 + f_y^2 + 1}} [-f_x, -f_y, 1]$$

$$\mathbf{n} = \frac{\mathbf{t}_x \times \mathbf{t}_y}{\|\mathbf{t}_x \times \mathbf{t}_y\|} = \frac{1}{\|\mathbf{t}_x \times \mathbf{t}_y\|} \det \begin{bmatrix} \mathbf{u}_x & \mathbf{u}_y & \mathbf{u}_z \\ 1 & 0 & f_x \\ 0 & 1 & f_y \end{bmatrix}$$



Ricordando che:

$$\vec{g}(x, y) = \langle g_x(x, y), g_y(x, y), g_z(x, y) \rangle = \rho(x, y) \vec{n}(x, y)$$

$$\rightarrow N(x, y) = \frac{\mathbf{g}(x, y)}{\|\mathbf{g}(x, y)\|}$$

➔ Ottengo:

$$\rho(x, y) = \|\vec{g}(x, y)\|; \quad f_x(x, y) = -\frac{g_x(x, y)}{g_z(x, y)}; \quad f_y(x, y) = -\frac{g_y(x, y)}{g_z(x, y)}$$



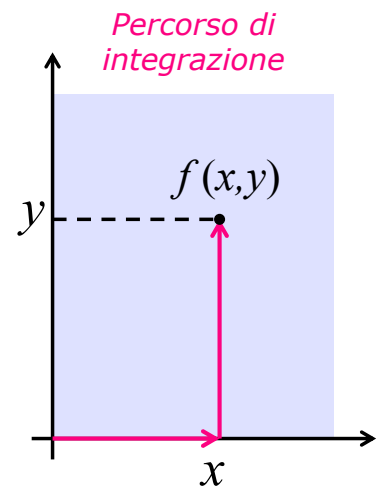
## Dalle derivate parziali alla superficie:

- ❖ Date le derivate parziali:

$$f_x(x, y) = -\frac{g_x(x, y)}{g_z(x, y)}; \quad f_y(x, y) = -\frac{g_y(x, y)}{g_z(x, y)}$$

- ❖ ricostruisco la superficie  $f$  a partire dalle derivate parziali:

$$f(x, y) = \int_0^x f_x(s, 0) ds + \int_0^y f_y(x, t) dt$$



## Integrabilità:

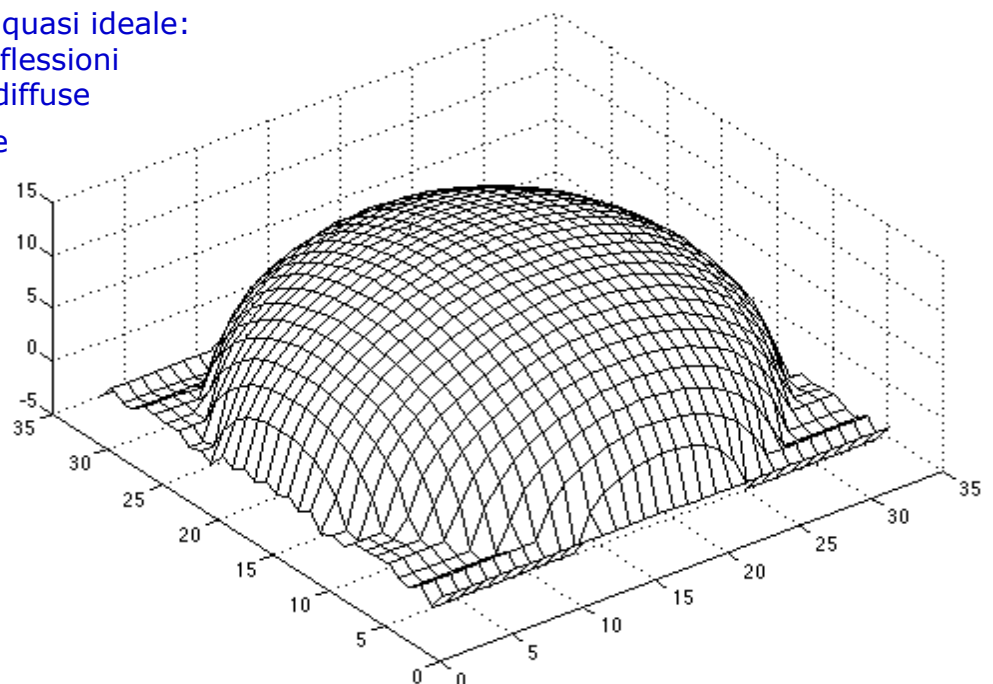
- ❖ Devo verificare che le derivate seconde miste siano uguali (in pratica, basta che siano molto simili):

$$f_{xy}(x, y) = \frac{df_x(x, y)}{dy} = f_{yx}(x, y) = \frac{df_y(x, y)}{dx}$$



## Limiti della tecnica "shape from shading":

- ❖ Modello di camera quasi ortografico
- ❖ Modello di luminosità quasi ideale: niente ombre, inter-riflessioni specularità, sorgenti diffuse
- ❖ Non possono mancare dati
- ❖ Integrazione non robusta
- ❖ Acquisizione di immagini multiple





## “shape from shading” con una sola immagine a colori

[Brostow, et al, "Video Normals from Colored Lights", IEEE Transactions on Pattern Analysis and Machine Intelligence, 2011]



### Tecnica:

- ❖ illumino la scena con **tre sorgenti**:
  - **luce ROSSA**
  - **luce VERDE**
  - **luce BLU**
- ❖ acquisisco **una sola immagine a colori** ...che poi separo nelle sue tre componenti **R,G,B**
- ➔ **tre immagini:  $N = 3$**
- ❖ ogni componente dell'immagine "vede" soltanto la propria sorgente (**R,G,B**)
- ❖ **Criticità**: i sensori **R,G,B** non sono del tutto ortogonali...



# Bidirectional Reflectance Distribution Function (BRDF)



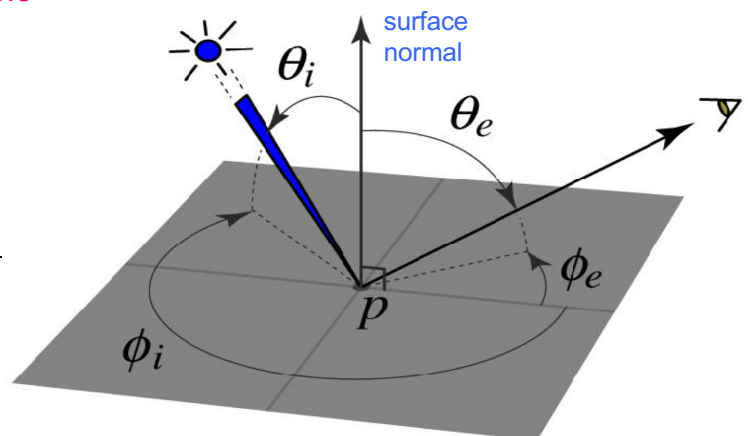
## BRDF: modello generale di descrizione della riflessione superficiale

- ❖ Definisce la **luminosità percepita** da una **direzione di osservazione**, a causa di una sorgente illuminante da un'altra direzione

**BRDF**  $\rho(\vec{i}, \vec{e})$  : rapporto tra  
 – radianza in direzione **uscente**  $\vec{e}$   
 – irradianza in direzione **incidente**  $\vec{i}$

$$\rho(\vec{i}, \vec{e}) = \rho(\theta_i, \phi_i, \theta_e, \phi_e) = \frac{L_e(\theta_e, \phi_e)}{E_i(\theta_i, \phi_i)}$$

$$= \frac{L_e(\theta_e, \phi_e)}{L_i(\theta_i, \phi_i) \cos \theta_i}$$



**Radianza totale uscente** verso una direzione:  $L(\vec{e}) = L(\theta_e, \phi_e)$

➔ **integro i contributi da ogni direzione incidente**

$$L_e(\theta_e, \phi_e) = \int_{\Omega} \rho(\theta_i, \phi_i, \theta_e, \phi_e) L_i(\theta_i, \phi_i) \cos \theta_i d\omega_i$$

$\Omega$ : **angolo solido contenente la sorgente**

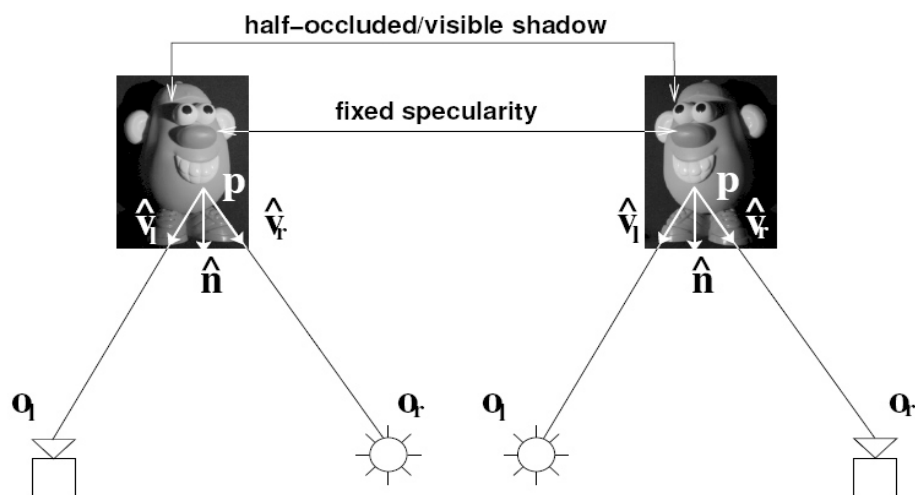
## Helmholtz stereopsis:

ricostruzione 3D di superfici con **BRDF arbitrario**

- ❖ senza vincoli sul tipo di superficie (Lambertiana, speculare, con ombre, ...)
- ❖ sfrutto la reciprocità della BRDF:  $\rho(\mathbf{v}_l, \mathbf{v}_r) = \rho(\mathbf{v}_r, \mathbf{v}_l)$

T. Zickler, P. Belhumeur, and D. Kriegman,  
 "Helmholtz Stereopsis: Exploiting Reciprocity for Surface Reconstruction", ECCV 2002.

**IDEA:** acquisizione stereo, scambiando di posto sorgente e camera



## Helmholtz Stereopsis:

Consideriamo la sorgente in  $\mathbf{O}_r$  e la camera in  $\mathbf{O}_l$

La BRDF  $\rho(\mathbf{v}_r, \mathbf{v}_l)$  in questo caso è il rapporto:

- ❖ Radianza uscente  $L(\mathbf{v}_l)$  in direzione di camera

- ❖ Irradianza incidente  $E(\mathbf{v}_r)$  in direzione di illuminazione

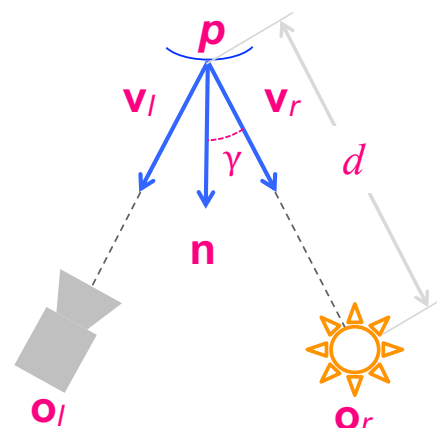
$$\rho(\mathbf{v}_r, \mathbf{v}_l) = \frac{L(\mathbf{v}_l)}{E(\mathbf{v}_r)}$$

- ❖ Radianza uscente  $L(\mathbf{v}_l)$  :  
 proporzionale all'irradianza osservata nell'immagine,  $I_l$   
 (camera calibrata radiometricamente –  $k_{cam}$ )

$$L(\mathbf{v}_l) = k_{cam} I_l$$

- ❖ Irradianza incidente  $E(\mathbf{v}_r)$  :  
 potenza  $S$  ricevuta sulla superficie,  
 moltiplicata per  $\mathbf{n} \cdot \mathbf{v}_r = \cos(\gamma)$   
 e divisa per  $d^2 = |\mathbf{o}_r - \mathbf{p}|^2$

$$E(\mathbf{v}_r) = S \frac{\cos(\gamma)}{d^2} = S \frac{\mathbf{n} \cdot \mathbf{v}_r}{|\mathbf{o}_r - \mathbf{p}|^2}$$



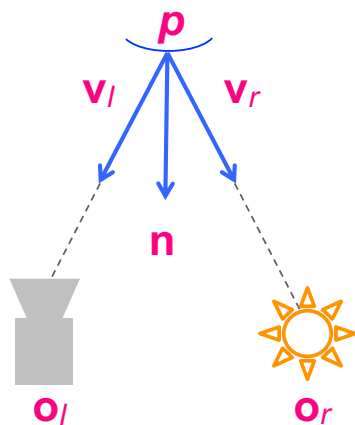
Ponendo  $\eta = \frac{k_{cam}}{S}$ , ottengo:

$$\rho(\mathbf{v}_r, \mathbf{v}_l) = \frac{k_{cam} I_l}{S \frac{\mathbf{n} \cdot \mathbf{v}_r}{|\mathbf{o}_r - \mathbf{p}|^2}} = \frac{\eta I_l}{\frac{\mathbf{n} \cdot \mathbf{v}_r}{|\mathbf{o}_r - \mathbf{p}|^2}}$$



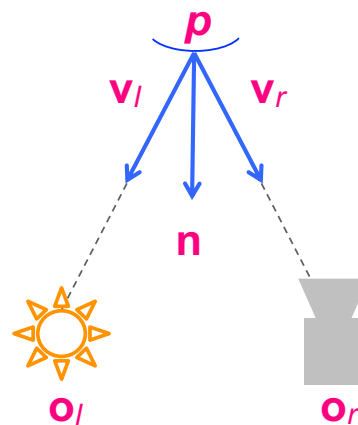
## Acquisizione immagini

Per ogni coppia di direzioni  $(\mathbf{v}_l, \mathbf{v}_r)$  effettuo 2 fotografie, scambiando di posto camera e sorgente illuminante (per  $M$  coppie)



$$\rho(\mathbf{v}_r, \mathbf{v}_l) = \frac{\eta I_l}{\frac{\mathbf{n} \cdot \mathbf{v}_r}{|\mathbf{o}_r - \mathbf{p}|^2}}$$

uguali



$$\rho(\mathbf{v}_l, \mathbf{v}_r) = \frac{\eta I_r}{\frac{\mathbf{n} \cdot \mathbf{v}_l}{|\mathbf{o}_l - \mathbf{p}|^2}}$$

**Helmholtz reciprocity:**  $\rho(\mathbf{v}_l, \mathbf{v}_r) = \rho(\mathbf{v}_r, \mathbf{v}_l)$

# Helmholtz stereopsis



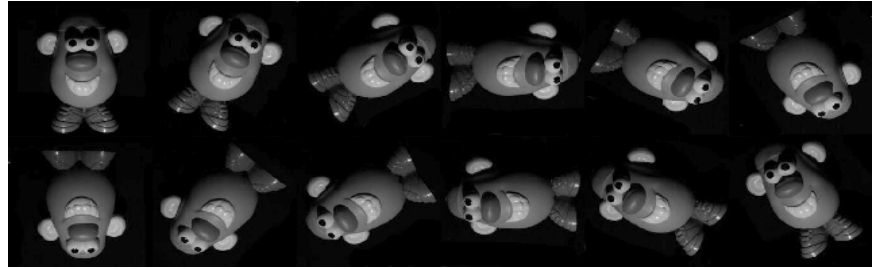
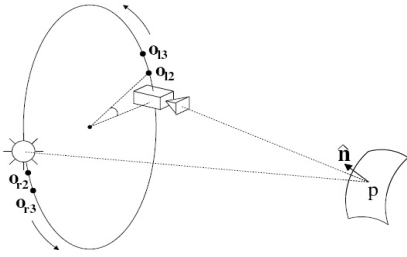
Applico la reciprocità  $\rho(\mathbf{v}_l, \mathbf{v}_r) = \rho(\mathbf{v}_r, \mathbf{v}_l)$  e semplifico:

$$\frac{\frac{\eta I_l}{\frac{\mathbf{n} \cdot \mathbf{v}_r}{|\mathbf{o}_r - \mathbf{p}|^2}}}{\frac{\eta I_r}{\frac{\mathbf{n} \cdot \mathbf{v}_l}{|\mathbf{o}_l - \mathbf{p}|^2}}} = \frac{\eta I_r}{\frac{\mathbf{n} \cdot \mathbf{v}_l}{|\mathbf{o}_l - \mathbf{p}|^2}} \Rightarrow I_l \frac{\mathbf{n} \cdot \mathbf{v}_l}{|\mathbf{o}_l - \mathbf{p}|^2} = I_r \frac{\mathbf{n} \cdot \mathbf{v}_r}{|\mathbf{o}_r - \mathbf{p}|^2}$$

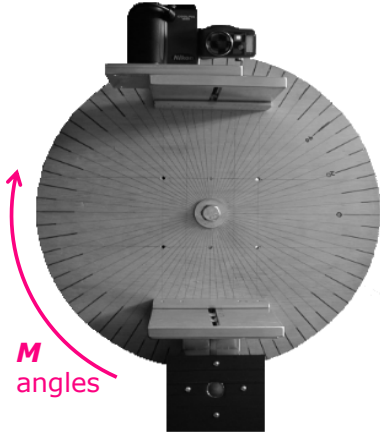
$$\rightarrow \left[ \frac{I_l \mathbf{v}_l}{|\mathbf{o}_l - \mathbf{p}|^2} - \frac{I_r \mathbf{v}_r}{|\mathbf{o}_r - \mathbf{p}|^2} \right] \cdot \mathbf{n} = \mathbf{w}(\mathbf{p}) \cdot \mathbf{n} = 0 \quad \left( \Rightarrow [w_x(\mathbf{p}) \ w_y(\mathbf{p}) \ w_z(\mathbf{p})] \begin{bmatrix} n_x \\ n_y \\ n_z \end{bmatrix} = 0 \right)$$

- ❖ Per ogni punto considerato,  $\mathbf{w}(\mathbf{p}) \cdot \mathbf{n} = 0$  fornisce un vincolo sulla distanza del punto  $\mathbf{p}$  e sulla sua normale  $\mathbf{n}$  → 6 incognite/punto
- ❖ Per ogni punto considerato, otteniamo un'equazione (non lineare) di vincolo per ogni coppia sorgente/camera ( $M$  coppie sorgente/camera →  $M$  equazioni/punto)
- ➔ Per  $M > 6$ , tali vincoli permettono di arrivare alla ricostruzione 3D della superficie

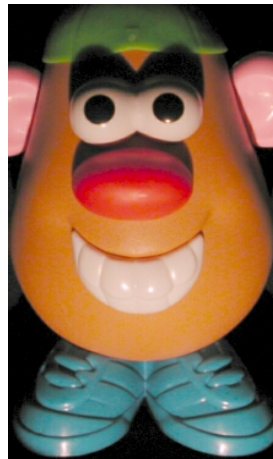
**Proprietà:** nessuna ipotesi a priori sul modello di riflessione della superficie



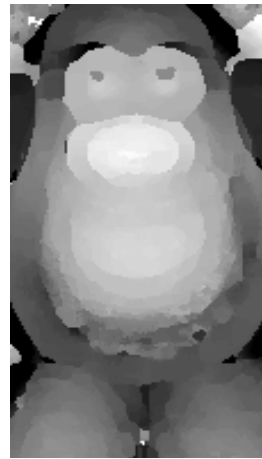
reciprocal stereo pairs



custom stereo rig



original image



recovered depth map and normal field

